



БИООРГАНИЧЕСКАЯ ХИМИЯ

том 7 • № 11 • 1981

УДК 547.963.32.07

СИНТЕЗ ФОТОАКТИВНЫХ АНАЛОГОВ 1,N⁶-ЭТЕНОАДЕНОЗИН-5'-ДИ- И ТРИФОСФАТОВ

Невинский Г. А., Денисов А. Ю.

Институт органической химии Сибирского отделения
Академии наук СССР, Новосибирск

Получен ряд новых соединений: γ -анилид ε ATP, β -анилид ε ADP, γ -бензиламид ε ATP, β -бензиламид ε ADP, а также γ -(*n*-азидоанилид) ε ATP и β -(*n*-азидоанилид) ε ADP, которые охарактеризованы данными УФ-спектроскопии и ТСХ. Флуоресцентные свойства полученных веществ существенно зависят от структуры радикала при β -фосфате ε ADP и γ -фосфате ε ATP. Показана возможность использования аналогов в качестве флуоресцентных зондов и аффинных меток при исследовании ферментов.

В настоящее время одним из наиболее информативных методов исследования ферментов можно считать метод аффинной модификации, позволяющий локализовать в активных центрах белков структурные аналоги субстратов. В связи с этим особый интерес представляют химически активные аналоги субстратов, которые обладают флуоресцентными свойствами. Применение таких реагентов дает возможность исследовать конформационные перестройки в ферментах под действием внешних условий, а также оценивать расстояния между различными центрами связывания лигандов [1].

Как показано в работах [2, 3], ε ATP для ряда ферментов является либо субстратом, либо конкурентным по отношению к ATP ингибитором. В то же время аналоги ATP, содержащие при γ -фосфате ароматические группировки, эффективно взаимодействуют с нуклеотидсвязывающими центрами большого числа ферментов [4–7]. Это позволяло надеяться, что введение ароматических группировок по концевым фосфатам ε ATP и ε ADP не приведет к исчезновению сродства аналогов к ATP-зависимым ферментам.

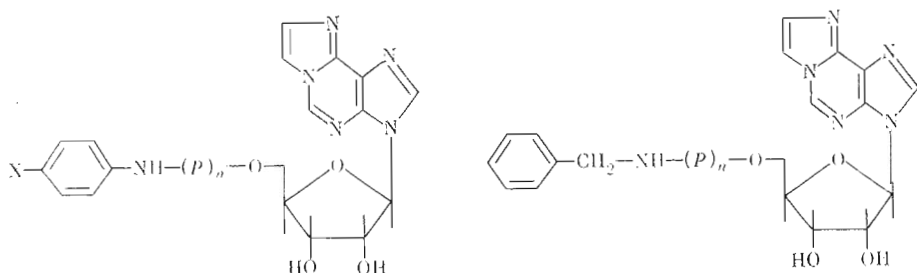
Данная работа посвящена синтезу некоторых фосфамидных аналогов ε ATP и ε ADP и исследованию их флуоресцентных свойств в свободном состоянии и после ковалентного присоединения к ферменту.

Принятые сокращения: ε ATP – 1,N⁶-этеноATP; ε -ADP – 1,N⁶-этеноADP, TNS – 2-толуидиннафтален-6-сульфонат; креатинкиназа – ATP: креатинфосфотрансфераза (КФ 2.7.3.2); НЕРЕС – 2-N-гидроксиэтилперазин-N'-2-этансульфокислота; DCC – диклохексилкарбодимид; СМЕ-DCC – *n*-толуолсульфонат N-циклогексил-N'-(4-метилморфорилий) этилкарбодимида.

Данные УФ-спектров и хроматографической подвижности аналогов (I)–(VI)

| Соединение | pH * | $\lambda_{\text{макс}}$, нм ($\epsilon \cdot 10^{-3}$, $M^{-1} \cdot \text{см}^{-1}$) | $\lambda_{\text{мин}}$, нм ($\epsilon \cdot 10^{-3}$, $M^{-1} \cdot \text{см}^{-1}$) | R_f (система) |
|------------|------|---|--|---------------------------|
| (I) | 2,0 | 275(9,6) | 247(4,6) | 0,64(A), 0,36(B) |
| | 6,0 | 258 **; 268(5,9); 276(6,0); 300 ** | 250(4,5) | |
| | 13,0 | 258 **; 268(5,9); 276(6,0); 300 ** | 253(5,1) | |
| (II) | 2,0 | 275(9,6) | 247(4,6) | 0,52(A), 0,26(B) |
| | 6,0 | 258 **; 267(6,3); 276(6,1); 300 ** | 250(4,5) | |
| | 13,0 | 258 **; 267(6,0); 276(5,9); 300 ** | 254(5,1) | |
| (III) | 2,0 | 265(19,1) | 242(8,8) | 0,76(A), 0,46(B), 0,26(B) |
| | 6,0 | 267(17,2); 275 **; 300 ** | 246(9,3) | |
| | 13,0 | 266(16,7); 275 **; 300 ** | 247(10,1) | |
| (IV) | 2,0 | 265(20,9) | 243(10,0) | 0,60(A), 0,32(B), 0,37(B) |
| | 6,0 | 267(18,5); 275 **; 300 ** | 246(10,0) | |
| | 13,0 | 266(17,5); 275 **; 300 ** | 247(11,0) | |
| (V) | 2,0 | 275(9,6) | 248(4,3) | 0,65(A), 0,43(B) |
| | 6,0 | 260 **; 268(6,0); 271(6,1); 295 ** | 251(4,3) | |
| | 13,0 | 260 **; 268(6,0); 271(6,1); 295 ** | 253(4,8) | |
| (VI) | 2,0 | 275(9,6) | 248(4,3) | 0,56(A), 0,37(B) |
| | 6,0 | 260 **; 268(5,9); 277(6,0); 295 ** | 251(4,3) | |
| | 13,0 | 260 **; 268(5,9); 277(6,0); 295 ** | 253(4,8) | |

* pH 2,0 — спектры сняты в 0,1 н. HCl; pH 13,0 — спектры сняты в 0,1 н. NaOH.
** Плечо.



(I) $X = H$, $n = 2$; (II) $X = H$, $n = 3$
(III) $X = N_3^-$, $n = 2$; (IV) $X = N_3^-$, $n = 3$

(V) $n = 2$
(VI) $n = 3$

β -Анилид ε ADP (I), γ -анилид ε ATP (II), β -(*n*-азидоанилид) ε ADP (III), γ -(*n*-азидоанилид) ε ATP (IV), а также β -бензиламид ε ADP (V) и γ -бензиламид ε ATP (VI) получены разработанными ранее в нашей лаборатории методами, основанными на взаимодействии амилов с производными ди- и трифосфатов, активированными с помощью СМЕ-DCC [8, 9], либо DCC [10]. Оба метода приводят к получению анилидов и бензиламидов ди- и трифосфатов эндоаденозина с высокими выходами (95–98%). Азидоанилиды ε ADP и ε ATP предпочтительнее получать с помощью первого метода. При использовании второго метода выход соединений (III) и (IV) составляет 50–70%. Синтезированные фосфаты выделены из реакционных смесей хроматографией на DEAE-целлюлозе (таблица).

При гидролизе соединений (I)–(VI) в течение 1 ч 0,1 н. HCl при 40°С получаются соответствующие амины и ε ADP или ε ATP в соотношении 1:1. Продукты гидролиза идентифицированы с помощью метода TCX, микроколоночной хроматографии на DE-целлюлозе в системе Томлинсона – Тенера и сравнением УФ-спектров исходных соединений с УФ-спектрами продуктов гидролиза. Наличие азидогруппы в анилидах (III) и (IV) подтверждается ИК-спектрами, в которых имеются по-

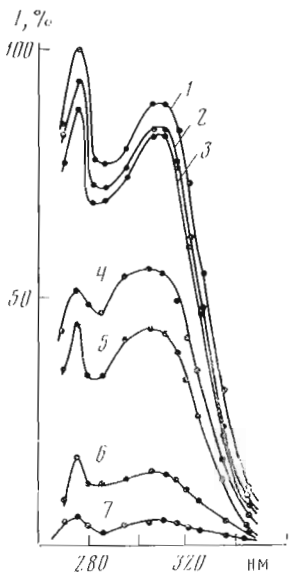


Рис. 1

Рис. 1. Спектры возбуждения флуоресценции (откорректированы, см. «Экспер. часть») соединений (I) – (VI) (максимум флуоресценции 405 нм): 1 – β -бензиламид ε ADP (V); 2 – ε ATP; 3 – γ -бензиламид ε ATP (VI); 4 – β -анилид ε ADP (I); 5 – γ -анилид ε ATP (II); 6 – β -(*n*-азидаоарилльный) ε ADP (III); 7 – γ -(*n*-азидаоарилльный) ε ATP (IV). Спектр ε ADP совпадает со спектром ε ATP

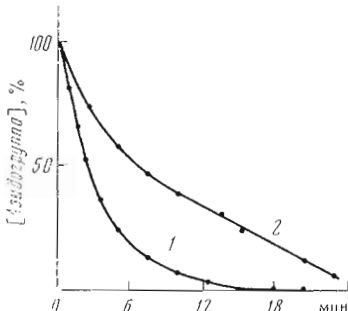


Рис. 2

Рис. 2. Кинетические кривые фотониздуируемого разложения азидогруппы водного раствора азидаоарилльного аналога ε ATP (IV) 0,06 (1) и 2 мМ (2) при pH 6,0

лосы поглощения в области 2100–2140 cm^{-1} . Структура соединений (I) – (VI) подтверждена также с помощью УФ-спектров (таблица).

Общий вид спектров возбуждения флуоресценции соединений (I) – (VI) и ε ATP практически не различается (рис. 1). В то же время интенсивность флуоресценции синтезированных соединений существенно зависит от структуры ароматической группы при концевых фосфатах молекул ε ADP и ε ATP. Так, интенсивности флуоресценции бензиламидов (V), (VI) и β ATP практически одинаковы. У анилидов (I) и (II) они уменьшаются по сравнению с ε ATP в 1,5 и 2 раза соответственно. Введение азидоарильной группировки в соединениях (III) и (IV) приводит к уменьшению интенсивности в 8 и 20 раз. После гидролиза аналогов (I) – (IV) 0,1 н. HCl (40°С, 1–2 ч) их флуоресцентные характеристики возрастают до уровня свободной ε ATP. Спектры испускания флуоресценции аналогов, снятых на максимуме возбуждения 305 нм, представлены одной бесструктурной полосой с λ_{\max} 405 нм.

Известно, что молекула АТР имеет тенденцию к образованию свернутой конформации, в которой трифосфатная цепь сближена с пуриновым кольцом [11]. Дополнительное координирование трифосфатной группировки происходит в присутствии ионов металлов [12]. Скорее всего, эти свойства сохраняются и в ε ATP. В таком случае в молекулах аналогов ε ATP, которые имеют при γ -фосфате ароматический радикал, можно ожидать дополнительного взаимодействия последнего с модифицированным пуриновым кольцом молекулы аналога. По-видимому, наблюдаемые изменения в спектрах возбуждения флуоресценции ε ATP и ε ADP после введения по концевым фосфатам этих молекул анилидиной и *n*-азидоанилидиной группировок (рис. 1) связаны со стекинг-взаимодействием аро-

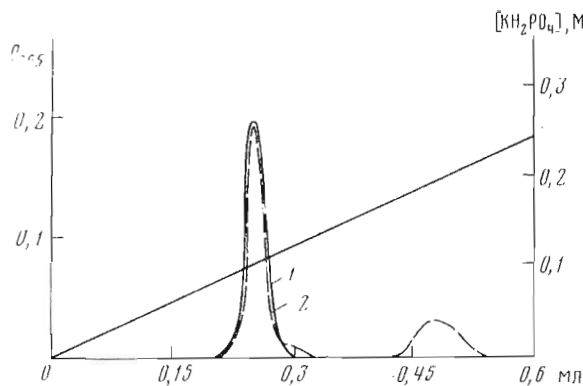


Рис. 3. Хроматографический анализ азидоанилида εATP (IV) до облучения (1) и после облучения УФ-светом ($\lambda > 300$ нм) (2) на микроколонке с DE-целлюлозой. Объем колонки 60 мкл, скорость элюции 25 мкл/мин. Использован градиент К-фосфатного буфера (pH 7,5), содержащего 8 М мочевину

матических компонентов в аналогах (I)–(IV). Наличие более длинной трифосфатной группировки в аналогах (II) и (IV), вероятно, обеспечивает более эффективное взаимодействие ароматического радикала с нуклеозидной частью молекулы по сравнению с производными дифосфатов (I) и (III), что приводит к существенному уменьшению интенсивностей в спектрах возбуждения флуоресценции аналогов εATP по сравнению с аналогами εADP.

Были исследованы процессы фотолиза *n*-азидоанилидов εATP и εADP. В азидоанилиде трифосфата (IV) период полураспада азидогруппы составляет 2,5 мин при концентрации соединения 0,06 мМ и возрастает с увеличением концентрации до 2 мМ в 3 раза (рис. 2). Аналогичное увеличение периода полураспада было получено в случае дифосфата (III). Как видно из таблицы, фотоактивные соединения (III) и (IV) поглощают свет длиной волны выше 300 нм, и увеличение времени полураспада фотоаналогов при увеличении их концентрации в облучаемой смеси вызывается не только азидогруппой.

В работе [13] показано, что облучение ультрафиолетовым светом бензиламида АТР может привести к частичному разрушению фосфамидной и фосфоэфирных связей в трифосфатной группировке. Для выяснения этого вопроса γ -(*n*-азидоанилид) εATP (IV) в концентрации 0,01 мМ облучали 30 мин. Хроматографический анализ продуктов фотолиза (рис. 3) свидетельствует о том, что они имеют заряд, равный заряду аналога до облучения. Имеется также небольшое количество вещества с зарядом в два раза большим, чем у исходного соединения, по-видимому, за счет удвоения молекулы по азидогруппе [14]. Отсутствие соединений с меньшим зарядом, а также *n*-азидоанапалинила и εATP указывает на то, что в выбранных условиях облучение ультрафиолетовым светом не приводит к разрыву фосфамидной и фосфоэфирных связей в фотоаналоге (IV). Интенсивность флуоресценции соединения (IV) после его облучения в течение 10–30 мин не изменяется.

Нами было изучено взаимодействие некоторых полученных соединений с креатинкиназой из скелетной мышцы кролика *. Показано, что γ -(*n*-азидоанилид) εATP образует с ферментом специфичный фермент-ингибиторный комплекс и является аффинным реагентом креатинкиназы: УФ-облучение фермента с аналогом (IV) приводит к инактивации белка и ковалентному присоединению реагента к киназе. Субстраты — ADP и АТР — защищают фермент от инактивации.

* Результаты будут опубликованы в журнале «Биохимия».

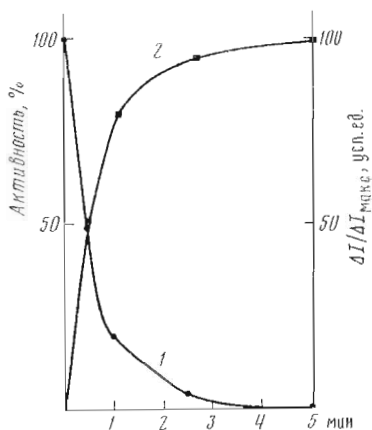


Рис. 4

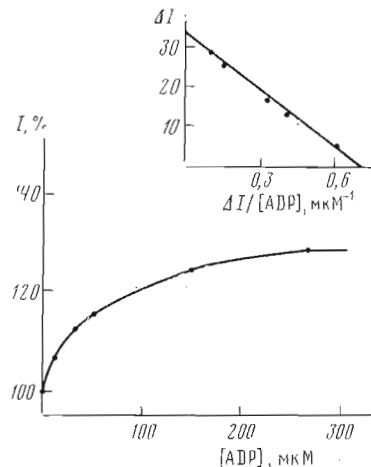


Рис. 5

Рис. 4. Зависимости активности креатинкиназы (1) и интенсивности флуоресценции системы фермента с азидоанилидом (IV) (2) от времени облучения системы УФ-светом ($\lambda > 300$ нм). Условия см. «Экспер. часть». ΔI_{\max} — максимальное приращение флуоресценции при длительном облучении системы (> 5 мин)

Рис. 5. Зависимости от концентрации ADP интенсивности флуоресценции метки, ковалентно связанной с креатинкиназой. За 100% принята интенсивность флуоресценции метки после УФ-облучения аналога (IV) с ферментом > 5 мин (см. рис. 4, ΔI_{\max})

В данной работе мы исследовали флуоресцентные свойства метки, ковалентно связанной с ферментом. Ковалентное присоединение аналога (IV) к креатинкиназе вызывает не только инактивацию фермента, но и возрастание интенсивности флуоресценции облученной системы (рис. 4). Кривые изменения флуоресценции облучаемой смеси и активности фермента достаточно хорошо коррелируют. Учитывая, что флуоресценция аналога (IV) после облучения в отсутствие фермента не изменяется, можно утверждать, что возрастание флуоресценции системы фермент + аналог (IV) связано только с ковалентным присоединением фотоактивного реагента (IV) в нуклеотидсвязывающем участке фермента.

Было показано, что интенсивность флуоресценции метки, ковалентно присоединенной к киназе, увеличивается примерно в 4–5 раз по сравнению со свободным аналогом (IV). Дополнительное увеличение флуоресценции происходит при добавлении АТР либо ADP к модифицированному меткой ферменту (рис. 5). Константа диссоциации комплекса фермента с ADP оказалась близкой к величине, полученной по методу флуоресцентного титрования с использованием зонда TNS ($K_{\text{дисс}} 64$ мкМ), и равна 46 мкМ (рис. 5, вставка). На вставке рис. 5 данные приведены в координатах Бинеси и Хилдебранда для получения $K_{\text{дисс}}$ с помощью уравнения [15]:

$$\Delta I = \Delta I_{\text{полн}} - K_{\text{дисс}} \cdot \frac{\Delta I}{[L]},$$

где ΔI , $\Delta I_{\text{полн}}$, L означают изменение флуоресценции при концентрации лиганда $[L]$ и полное изменение интенсивности флуоресценции метки.

Таким образом, ковалентно связанная с ферментом метка оказалась чувствительной к присутствию субстратов. Представляется перспективным использование креатинкиназы, модифицированной с помощью γ -(*n*-азидоанилида) ϵ АТР, для детального исследования взаимодействия центров связывания различных субстратов.

Синтезированные нами новые аналоги ϵ АТР и ϵ ADP также, по-видимому, могут быть использованы в качестве зондов и аффинных меток при исследовании других ферментов.

Экспериментальная часть

УФ-спектры регистрировали на спектрометре «Specord UV-VIS» (ГДР), ИК-спектры — на спектрометре IR (ГДР). Флуоресценцию аналогов измеряли в 0,05 М буфере HEPES — KOH (2-N-гидроксиэтилпиперазин-N'-2-этансульфокислота — KOH), pH 7,3, на приборе «Hitachi MPF-2A» (Япония). Флуоресценцию аналогов в присутствии ферментов измеряли на спектрометре фирмы «Durrum», модель D-110 (США). Потенциометрические измерения проводили, используя pH-метр марки pH-121.

TCX осуществляли на стандартных пластинах «Silufol UV₂₅₄» (Kavallier, ЧССР) в системах: диоксан — вода — аммиак, 6:4:1 (A); изомасляная кислота — вода — триэтиламин, 66:33:1 (B); ацетонитрил — вода, 4:1 (B). Препараты εATP и εADP любезно предоставлены Р. И. Гвоздевым (Институт химической физики, Черноголовка), препарат креатинкиназы из скелетных мышц кролика — Ж. И. Акопяном (Институт экспериментальной биологии, Ереван).

Использовали 2-N-гидроксиэтилпиперазин-N'-2-этансульфокислота (Ferak, ФРГ), креатинфосфат (Reanal, ВНР). n-Азидоанилин синтезирован согласно методике [9]. Анилин и бензиламин очищали перегонкой.

Синтез соединений (I) — (VI) проводили по аналогии с методами, описанными в работах [9, 10].

Метод A. К 40 мг n-азидоанилина (анилина или бензиламина) в 10 мл воды добавляли 10 мкмоль εATP (или εADP). Раствор охлаждали до 10°С и титровали 1 н. HCl до pH 5,6. Затем к раствору добавляли 200 мг CME-DCC в четыре приема через 10—20 мин. После каждого добавления CME-DCC раствор титровали 1 н. HCl до pH 5,6 и поддерживали pH равным этой величине до последующего добавления конденсирующего реагента. После окончания реакции (определяли по прекращению подщелачивания реакционной смеси) pH доводили до 8,5 добавлением триэтиламина. Раствор разбавляли до 50 мл и наносили на колонку с DEAE-целлюлозой (120 мл) в HCO₃⁻-форме. Колонку промывали 400—500 мл 0,01 либо 0,02 М TEAB-буфером, pH 7,5, для аналогов εADP и εATP соответственно. Продукт элюировали в линейном градиенте TEAB от 0 до 0,3 М для аналогов трифосфата и от 0 до 0,2 М для аналогов дифосфата. Объем фракций 10 мл. За выходом продуктов следили по поглощению при 260 и 275 нм. Фракции, поглощающие в УФ-свете, объединяли и упаривали при 30—35°С. Для удаления TEAB остаток несколько раз упаривали с небольшим количеством воды. Выходы 80—90%.

Метод B. К 10 мкмоль εATP или εADP (триэтиламмониевые соли) добавляли 0,2 мл абс. диметилформамида и 150 мкмоль DCC. Полученную смесь оставляли на 4 ч при 20°С. Затем в смесь добавляли 40 мкмоль соответствующего амина, оставляли при 4°С на 12—14 ч и фильтровали. Избыток непрореагировавшего амина и DCC осаждали добавлением к раствору 50 мл абс. эфира. Операцию пересаждения повторяли 3 раза. Сухой остаток растворяли в 50 мл воды и наносили на колонку с DEAE-целлюлозой. Дальнейшие операции очистки проводили как описано в методе A. Выходы составляли 80—98% в случае аминов и анилидов нуклеотидов и 50—70% в случае n-азидоанилидов εATP и εADP.

При определении величин молярных коэффициентов поглощения соединений (I) — (VI) концентрацию этих соединений определяли с помощью колориметрического метода по образованию молибденовой сини [16, 17] после гидролиза соединений в смеси серной и азотной кислот [17].

Для облучения фотоактивных соединений (III) и (IV) применяли лампу СВД-120 А с фильтром BC-4 и дополнительным фильтром из плексигласа (толщиной 3 мм), пропускающими свет длиной волны выше 300 нм. Эксперименты проводили в кварцевой кювете при 10°С. Интенсивность падающего света 2·10¹⁷ квант/с. О скорости разложения азидо-

группы судили по уменьшению поглощения растворов при 267 и 310 нм. После полного разложения азидогруппы поглощение растворов оставалось постоянной величиной и составляло примерно 50% от поглощения растворов до облучения.

Модификацию креатинкиназы с помощью фотоактивного аналога (IV) проводили в аналогичных условиях. Облучаемая смесь содержала 5–10 мкМ креатинкиназу, 20 мкМ азидоанилид (IV), 0,05 М НЕРС – КОН-буфер (рН 7,5). Активность фермента определяли с помощью реакции образования креатинфосфата потенциометрическим методом [18]. Измерения проводили в термостатированной кювете (объемом 1,5 мл) при 30° С с непрерывным перемешиванием. Реакционная смесь содержала 40 мМ креатин, 4 мМ АТР, 5 мМ уксусно-кислый магний, 100 мМ уксусно-кислый натрий, 1 мМ β-меркаптоэтанол, 0,01 мМ EDTA. Реакцию запускали добавлением 2–3 мкг фермента. О начальной скорости судили по расходу 0,01 н. NaOH за первые 1–3 мин, поддерживая постоянным рН (8,5).

Спектры флуоресценции соединений (I) – (VI) сняты на максимуме возбуждения (305 нм). Спектры возбуждения флуоресценции были откорректированы с учетом поглощения метки и калибровочной кривой для лампы возбуждения. Поглощение учитывали по формуле [19]

$$I = I_{\text{нам}} K; \quad K = \frac{X}{1 - e^{-X}},$$

где $X = \epsilon_\lambda \cdot 2,3 \cdot c_0 d$, I – интенсивность флуоресценции аналога, $d = 1$ см (длина оптического пути), c_0 – концентрация аналога (М), ϵ_λ – молярный коэффициент поглощения вещества. При концентрации аналога 0,02 мМ поглощение в диапазоне 290–350 нм составляло не более 10%.

Измерение флуоресценции модифицированного фермента проводили при концентрации фермента 8 мкМ в 0,05 М НЕРС – КОН-буфере (рН 7,5). При добавлении к модифицированному ферменту лигандов (АДР или АТР) регистрировали изменение флуоресценции с точностью до 1% с учетом поправки на разбавление.

Авторы благодарят О. И. Лаврик за активное участие в развитии работы и ценные обсуждения, проф. Д. Г. Кнорре за постоянный интерес и внимание к работе.

ЛИТЕРАТУРА

- Гвоздев Р. И., Котельников А. И., Пивоваров Д. П., Садков А. П., Кост А. А. Использование для исследования механизма действия интрагеназы индуктивно-резонансного переноса энергии между ковалентно присоединенной по АТР-азидным центрам аффинной люминесцентной меткой с железосерными кластерами. – Био-орган. химия, 1975, т. 1, № 2, с. 1207–1214.
- Leonard N. J., Tolman C. L. Fluorescent nucleosides and nucleotides. – In: Ann. N. Y. Acad. Sci., 1975, v. 255, p. 43–58.
- Иванов М. В., Кост А. А. Исследование белков с помощью энзимопроизводных аденина и цитозина. – В кн.: Успехи биологической химии. М.: Наука, 1980, т. 216, с. 112–129.
- Lavrik O. I., Nevincky G. A. Phenylalanyl-tRNA synthetase from *E. coli* MRE-600. Activation by nucleotides and affinity modification of the effector binding sites. – FEBS Lett., 1980, v. 109, № 1, p. 13–17.
- Булычев Н. А., Лаврик О. И., Невинский Г. А. Сравнительный анализ аффинной модификации ряда аминоацил-тРНК-синтетаз с помощью γ-(n-азидоанилида) АТР. – Молекуляр. биология, 1980, т. 14, № 3, с. 558–566.
- Грачев М. А., Зайчиков Е. Ф., Плетнев А. Г., Стариков В. В. γ-Анилиды нуклеозид-5'-трифосфатов как субстраты ДНК-зависимой РНК-полимеразы *E. coli*. – Молекуляр. биология, 1980, т. 14, № 3, с. 575–585.
- Горишкова И. И., Лаврик О. И., Попов Р. А. Проявление кооперативности при взаимодействии креатинкиназы из скелетных мышц кролика с γ-анилидом АТР. – Биохимия, 1981, т. 46, № 9, с. 1564–1569.
- Бабкина Г. Т., Зарытова В. Ф., Кнорре Д. Г. Получение γ-амидов нуклеозид-5'-фосфатов в водном растворе с помощью водорастворимого карбодиимида. – Био-орган. химия, 1975, т. 1, № 5, с. 611–615.

9. Невинский Г. А., Лаврик О. И., Фасорова О. О., Киселев Л. Л. Выявление нуклеотидсвязывающих участков двух типов в триптофанил-tРНК-синтетазе и их модификация.— Биоорганс. химия, 1979, т. 5, № 3, с. 352—364.
10. Knorre D. G., Kurbatov V. A., Samcov V. V. General method for the synthesis of gamma-ATP-derivatives.— FEBS Lett., 1976, v. 70, № 1, p. 105—108.
11. Parahia D., Fullman B., Saran A. A. Molecular orbital probe into the conformation of ATP.— Biochem. and Biophys. Res. Commun., 1972, v. 47, № 6, p. 1284—1289.
12. Kuntz G. P. P., Glassman T. A., Cooper C., Swift T. J. The role of coordinated water in metal ion-adenine ring binding in complexes of adenosine triphosphate.— Biochemistry, 1972, v. 11, № 4, p. 538—547.
13. Лаврик О. И., Невинский Г. А., Рязанкин И. А. Влияние структуры фотоактивных аналогов АТР на аффинную модификацию фенилаланил-tРНК-синтетазы. Модификация фермента по двум типам нуклеотидсвязывающих участков.— Молекулярн. биология, 1979, т. 13, № 5, с. 1001—1010.
14. Patai S. The chemistry of the azido group. New York — London: John Wiley and Sons, 1971, p. 26—40.
15. Holler E., Bennet E. L., Calvin M. 2-p-Toluidinylnaphthalene-6-sulfonate, a fluorescent reporter group for L-isoleucyl-tRNA synthetase.— Biochem. and Biophys. Res. Commun., 1971, v. 45, № 2, p. 409—415.
16. Grindley G. B., Nichol Ch. A. Micro procedure for determination of pyrophosphate.— Anal. Biochem., 1970, v. 33, № 1, p. 114—119.
17. Губен-Вейль. Методы органической химии. М.: Химия, 1967, т. 2, с. 31.
18. Milner-White E. J., Watt D. S. Inhibition of adenosine 5'-triphosphate-creatine phosphotransferase by substrate-ion complexes.— Biochem. J., 1971, v. 122, № 5, p. 727—740.
19. Engel G., Heider H., Maelicke A., von der Haar A., Cramer F. Fluorescence studies on substrate binding to seryl-tRNA synthetase from yeast.— Eur. J. Biochem., 1972, v. 29, № 1, p. 257—265.

Поступила в редакцию
2.IV.1984

SYNTHESIS OF PHOTOREACTIVE ANALOGS OF 1,N⁶-ETHENO ADENOSINE 5'-DI- AND TRIPHOSPHATES

NEVINSKY G. A., DENISOV A. Yu.

*Institute of Organic Chemistry, Siberian Branch of the Academy
of Sciences of the USSR, Novosibirsk*

The following new compounds have been prepared: εATP γ-anilidate, εADP β-anilidate, εATP γ-benzylanilidate, εADP β-benzylanilidate, εATP γ-(*p*-azidoanilidate), εADP β-(*p*-azidoanilidate) and characterized by UV-spectroscopy data and TLC in several systems. It was shown that the fluorescence properties of the synthesized analogs significantly depend on the structure of the radical at εADP β-phosphate and εATP γ-phosphate. A possible utility of these compounds as fluorescence probes and affinity labels in the enzyme studies was demonstrated.